

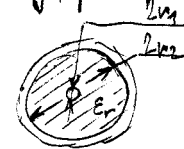
① Vyjádření intenzit elektřidloho a magnetického pole, vlnové délky v sítémém směru a toku vlnového rovinného slou.

- prostředí: izotropní, homogenní; vlastnosti určené permittivitou  $\epsilon$  a permeabilitou  $\mu$  a měrou vodivosti  $\rho$
- intenzita el. pole  $E(B) = E(A) e^{-jk'r_{BA}}$   
 - vlnové číslo  $k = \sqrt{\hat{\epsilon}_r \cdot \mu_r} = k' - jk''$   
 - měrná fáze  $k'$  [rad·m<sup>-1</sup>] } lze rozložit do souřadnic x (cos) a y (sin)  
 - měrný útlum  $k''$  [m<sup>-1</sup>] }  
 - vlnová délka  $\lambda$  [m] (vzdálenost dvou sousedních vlnoploch),  $\lambda = 2\pi/k'$   
 - fázová rychlosť  $v_f$  [m·s<sup>-1</sup>] (rychlosť pohybu bodu s fazí  $\Phi_0$ ),  $v_f = \lambda \cdot f$
- intenzita mag. pole  $H(B) = E(B)/Z_0$   
 - charakteristická impedance prostředí  $Z_0 = \sqrt{\mu_r/\epsilon_r}$ , ve volném prostoru  $Z_0 = (120\pi)$  Ω
- vektory el. a mag. intenzity vzdáleně kolmé, kolmé ke směru sítěného slou
- vlnová délka v sítémém směru  
 - ve směru os  $\lambda_x = 2\pi/k'_x$ , kde  $k'_x = k' \cos x$ , podobně pro y  
 - sin, cos < 1  $\Rightarrow \lambda_x, \lambda_y > \lambda$ , vlnová délka ve směru osy x, y je vždy v sítémém směru sítěného větší než ve směru sítěného slou
- tok vlnového rovinného slou  
 - charakterizovaný Poyntingovým vektorem  $\vec{P} = \vec{E} \times \vec{H}^*$   
 - směr shody se směrem slou, velikost má význam plošné hustoty kompletního vlnového neseneho elektromagnetickou vlnou  
 - výpočet  $P(B) = \vec{P} \cdot S \cdot \cos \alpha$ , kde  $\vec{P} = E \cdot H^*$

② Hlavní typy vedení s vlnou TEM, jejich parametry, provedení a použití.

- koaxialní (sousední) vedení

- nesymetrické,  $Z_{0v} = \frac{60}{\sqrt{\epsilon_r}} \ln \frac{r_2}{r_1}$



- char. impedance typicky  $50\Omega$ ,  $75\Omega$

- dielektrikum PE ( $\xi = 0,67$ ), PL ( $\xi = 0,81$ ), PTFE ( $\xi = 0,68$ )

- měření útlumu  $0,03 \text{ až } 0,3 \text{ dB/m}$  @  $100 \text{ MHz}$ , růstek je  $\sqrt{f}$

- dvouvodičové symetrické vedení

- symetrické,  $Z_{0v} = \frac{120}{\sqrt{\epsilon_r}} \ln \frac{d}{r}$



- char. impedance stávky ohm, typ.  $300\Omega$ ;  $\xi = 0,8$

- mikropásková vedení

- struktura nanесena na dielektrickou podložku

- materiál musí mít malé straty - korundová, beryliová keramika

- parametry vedení:

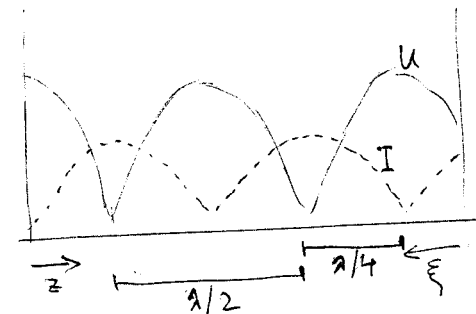
- primární: indukčnost  $L_1$ , kapacita  $C_1$ , odpor  $R_1$ , vodivost  $G_1$

- sekundární: char. impedance  $Z_{0v} = \sqrt{L_1/C_1}$ , měření útlumu  $\beta$ , měření fáze  $\alpha$ , činitel zkrácení  $\xi$

EVA

③ Rozložení napětí a proudu na vedení, kmitaj a užly, činitel odrazu a poměr stojatých vln.

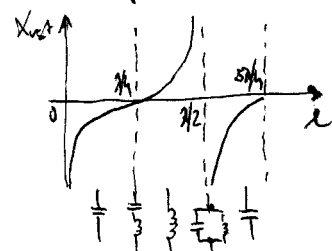
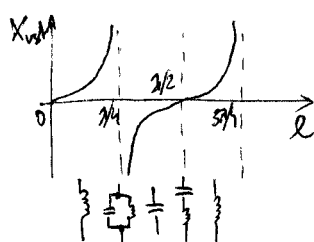
- vlivem sítového příjmu a zpětného vlivu vzniká stojatá vlna - maxima i minima proudu i napětí
- v kmitajícím napětí  $U_{\text{max}} = |\vec{U}| + |\vec{E}_k| = |\vec{U}| \cdot (1 + |R|)$
- v užlu napětí  $U_{\text{min}} = |\vec{U}| - |\vec{E}_k| = |\vec{U}| \cdot (1 - |R|)$
- v kmitajícím napětí je uzel proudu a náopak, vzdálenost sousedních užlu je  $\lambda_v/2$ , vzdálenost užlu a kmitajícího je  $\lambda_v/4$
- činitel odrazu  $Q_k$  určen použitím faktoru příjmu a odraženého vlivu napětí na konci vedení:  $Q_k = \frac{\vec{U}_k}{\vec{U}_{kv}} = \frac{Z_k - Z_{0v}}{Z_k + Z_{0v}}$ ;  $0 \leq |R| \leq 1$ ;  $|R| = \frac{\sigma - 1}{\sigma + 1}$
- poměr stojatých vln  $\sigma$  určen použitím napětí v kmitajícím a v užlu:  $\sigma = \frac{U_{\text{max}}}{U_{\text{min}}} = \frac{1 + |R|}{1 - |R|}$ ;  $1 \leq \sigma < \infty$
- rozložení napětí a proudu v typických situacích:
  - vedení meziříčí:  $Z_k = 0 \Rightarrow U_k = 0$ ,  $Q_k = -1$ ,  $\sigma \rightarrow \infty$
  - vedení naprázdno:  $Z_k \rightarrow \infty \Rightarrow I_k = 0$ ,  $Q_k = -1$ ,  $\sigma \rightarrow \infty$
  - vedení zadoucené reálnou zátěží
    - $R_k < Z_{0v}$  na konci kmitajícího proudu
    - $R_k > Z_{0v}$  na konci kmitajícího napětí
    - $R_k = Z_{0v}$  přípůsobení zadoucení  $\Rightarrow$  pouze příjma vlna
  - vedení zadoucené reaktivní (zadávání prodloužením / zkrácením)



## 4) Transformace impedance vedení, rezonance. Smithův diagram.

transformace impedance vedení:

- obecně problematické (hyperbolické fce kompleksního argumentu)
- zvláštní situace:
  - čtvrtvlnné bezstrátové vedení  $\lambda = \lambda/4, \beta = 0$  - transformace impedance na impedance vnitřní jejiž převážené hodnoty,  $Z_{\text{ret}} = Z_{\text{ov}}^2/Z_k$
  - polovlnné vedení bezstrátové  $\lambda = n\lambda/2, \beta = 0$  - platí  $Z_{\text{ret}} = Z_k$
  - dlouhé vedení se strátami  $\beta l > 1$  - hranice odraženou vlnou tak výrazně, že  $Z_{\text{ret}} = Z_{\text{ov}}$
  - přípustobené zadoučené vedení  $Z_{\text{ret}} = Z_{\text{ov}} = Z_k$  nezávisle na délce vedení
  - vedení meziatko a naprázdno - vstupní impedance je významně reaktancí  $X_{\text{ret}}$ , reálná složka je nula ( $R_{\text{ret}} = 0$ )



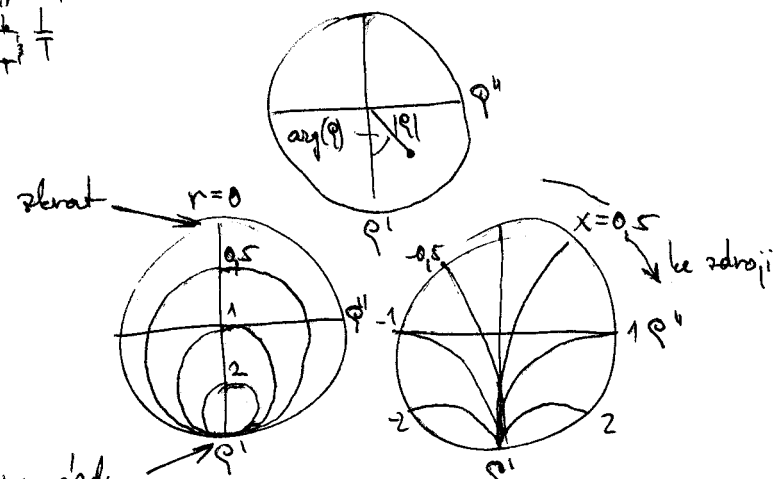
- vstupní impedance je významně reaktancí  $X_{\text{ret}}$ , reálná složka je nula ( $R_{\text{ret}} = 0$ )

Smithův diagram:

- zobrazuje činitel odrazu i složky impedance do jediného diagramu
- normovaná impedance  $z = Z/Z_{\text{ov}}$
- transformace impedance závisí na vstup vedení

(bod K, otocení o  $\lambda/2 \Rightarrow$  bod  $P^1$ , ke středu  $e^{-j\beta l} \Rightarrow P \Rightarrow Z_{\text{ret}}$ )

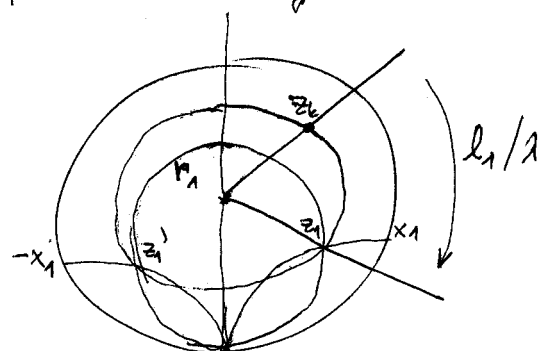
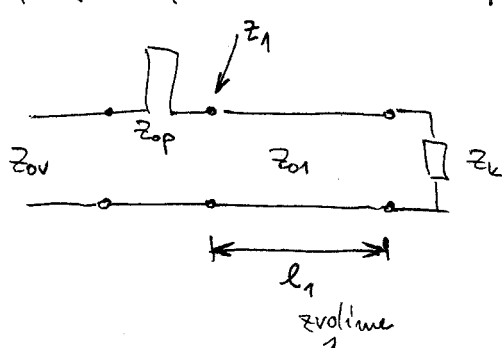
- poloha vstupu a koncovky na vedení
- činitel odrazu  $P$  v daném místě vedení
- reaktance vedení meziatko/naprázdno (otocení  $\lambda/2 \neq 0$  nebo  $\infty$ , odečítat  $x$ )
- vzdálenost místa vedení  $R = Z_{\text{ov}}$  (otocení k průniku s kroužnicí  $r=1$ )
- vztah mezi pírovou impedance a admittance



EVA

## 5) Přiřízenování impedance sériovým pálylem. Postup řešení, provedení obvodu.

- přiřízenovací obvod - transformace  $Z_k \rightarrow Z_{0V}$
- důvody přiřízenování: jen první vlna, nejvíce účinnost, život reálná a stabilní
- metody přiřízenování: čtvrtkulový transformátor, kaskádový transformátor, vložené vedení s čtvrtkulovým transformátorem, sériový a paralelní páyl
- přiřízenování sériovým pálylem
  - využívá vloženého vedení a nasledující kompenzaci reaktancí složky seř. reaktance pálylem je už vedení (negrádu/malrátko) realizující kompenzaci reaktancí



- vložené vedení ( $Z_{01}, l_1$ ) transformuje  $Z_k$  na  $Z_1 = R_1 + jX_1$ , kde  $R_1 = Z_{0V}$ ,  $r_1 = \frac{Z_{0V}}{Z_{01}}$
- imaginární složka  $X_1$  kompenzuje reaktanci pálylu  $X_p = -X_1$
- impedance normovaný k vloženému vedení  $Z_{01}$
- postup: transformace  $Z_k$  na  $z_1$  (otocení na kružnici  $r_1$ ), dvě řešení ( $l_1/1$ ) → délka  $l_1$  a znaménkem reaktance  $x_1$
- páyl  $Z_{0p}$ : průsečík kružnice  $x_p = -X_1/Z_{0p}$  s obvodovou kružnicí ( $n=0$ ), určení délky malrátko nebo negrádu
- v případě symetrického vedení prvek s poloviční reaktancí  $X_p/2$  do každého vedení

⑥ Vlny TE v dutém kovovém vlnovadlu obdélníkového průřezu. Délka vlny ve vlnovodu, pásmo jednovidovosti; rozložení pole ve vlnovodu.

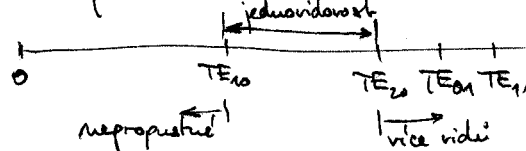
- transverzálně elektrická vlna TE

- vektor intenzity el. pole  $\vec{E}$  pouze v příčném řeze vlnovodem (není podélkovou složkou), zatímco vektor intenzity mag. pole  $\vec{H}$  má složky v příčném i podélkovém směru
- kovové vlnovody - průřezy různé, roněvý  $\approx$  flit  $\Rightarrow$  oblast GHz, radiolokátoru, družicová komunikace (nízké ztráty)
- vlna TE může mít jedno vidové číslo nulové  $\Rightarrow$  dominantní vid  $TE_{10}$  ( $m=1, n=0$ )

- parametry

- meziná vlnová délka  $\lambda_m = 2\pi / \sqrt{(\frac{m\pi}{a})^2 + (\frac{n\pi}{b})^2}$

- pásmo jednovidovosti - mezi  $TE_{10}$  a  $TE_{20}$



vid	$\lambda_m$
$TE_{10}$	$2a$
$TE_{20}$	$a$
$TE_{01}$	$2b$

- onečinný výboj v impulsním režimu (průvraťní pěnové dielektrika,  $P_{max} \approx b$ ), v kontinuálním režimu (steplikejší stěny,  $\rho_{obs}, \alpha$ )

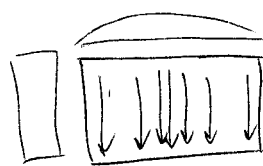
- faktová a stupinová rychlosť,  $v_{se} < c < v_f$ , pro  $f \rightarrow \infty$  je  $v_{se}/v_f \rightarrow c$

- délka vlny ve směru osy vlnovodu  $\lambda_g$ , větší než  $\lambda$  ve směru dálky vlny

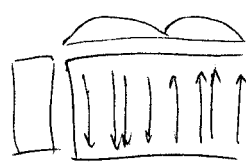


- rozložení pole ve vlnovodu

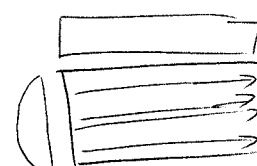
- vidová čísla  $m, n$  udávají počet průvln intenzity el. pole podél odpovídající hrany příčného řeza vlnovodem



$TE_{10}$



$TE_{20}$



$TE_{01}$



$TE_{11}$

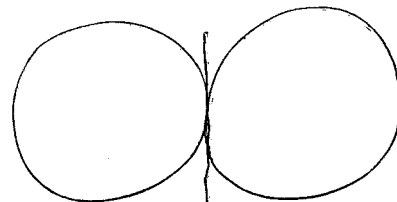
## 7) Směrová a impedanční charakteristika symetrického dipolu. Půltuny' dipól.

- symetrický dipól - dva vodice oddělené mezerou, u které jsou symetricky napojeny
- směrová charakteristika:

- fce záření  $F = j \frac{\cos(kl \cos \alpha) - \cos(kl)}{\sin \alpha}$ , kde  $k = \frac{2\pi}{\lambda} \dots$  vlnové číslo

- intenzita el. pole  $E = 60 I_{\max} F \frac{e^{-jkr}}{r}$

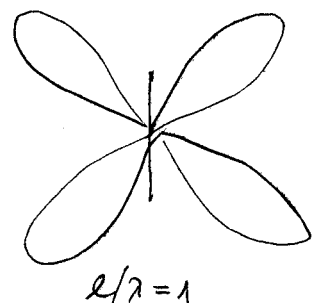
- fce záření závisí na relaci délce ramene  $l/\lambda \Rightarrow$  charakteristiky (typický polohu) pro různé  $l/\lambda$



$l/\lambda = 0,25 \dots$  půltuny' dipól



$l/\lambda = 0,5$   
celotuny' dipól



$l/\lambda = 1$

### • impedanční charakteristika

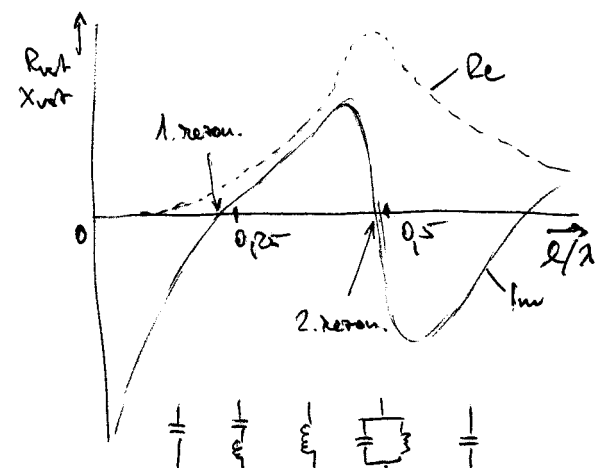
- vstupní impedance - používá faktorů vst. napětí a proudu, vychází z příspěvku  $jR_{st}$  vst. odporník  $R_{st}$ ,  $j\omega$  vst. reaktance  $X_{st}$

- průběh podoby ztrátovému vedení nepravidelný

- klasický dipól má plaché průběhy, tenky sušecí vlny

- 1. rezonance  $\approx 70\Omega$

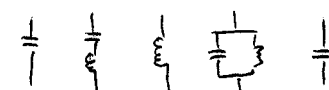
- 2. rezonance  $\approx 150\Omega$



### • půltuny' dipól

- rezonanční délka  $l_{rez} = \xi \cdot \lambda/4$  kde  $\xi \dots$  dimenší zářecí (tenky 0,98, klasický 0,99)

- pouze reálná složka impedance,  $Z_{int} \approx 70\Omega$



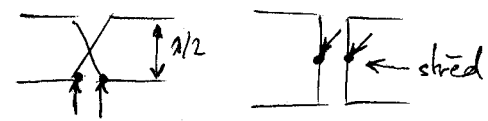
EVA  
⑧ Souřadová anténní soustava s reflektorem, logaritmicko-periodická a kosočtverecová anténa.

- souřadová anténní soustava s reflektorem

- pro získání ostréjší směrovosti a většího zisku, soustav s využitím přídružnou a podélnou

- soustav s využitím přídružnou:

- hlavní lalok ve směru kolmém k osy rády
- všechny průby báseň se stejnou fází
- lalok se rozšiřuje v rovině osy rády



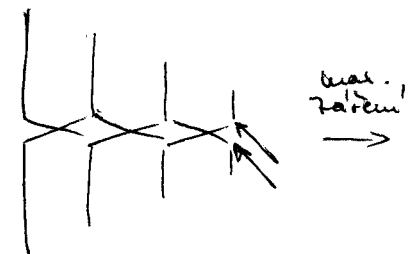
střed

- soustav s využitím podélnou:

- Yagiho antény (galvanicky napojen jediný před-alektrum, ostatní napojeny vlnem - pasivní; reflektor, direktory), zisk 10-15dB
- logaritmicko-periodická anténa

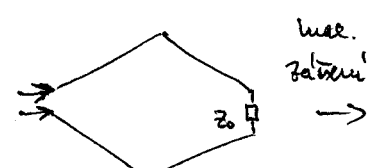
- logaritmicko-periodická anténa

- křížové napojení horizontálních dipólů
- power delší a vzdálenost dvou sousedních dipólů je vždy stejný
- základní výdoby dipál v rezonanci + blízce
- menší zisk ( $\approx 10\text{dB}$ ), vysoká širokopásmovost (10:1)



- kosočtvercová anténa

- typická KV anténa
- symetrické vedení s „roztaženými“ vodiči zakončené  $Z_0$
- stálá reálná impedance  $Z_0$
- zisk ve směru delší vlnolopatky až 20dB
- značné rozdíly,  $a \approx 2..4\lambda$

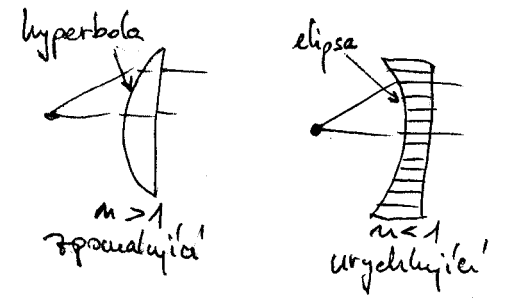


# ⑨ Typy a provedení plošných anten, reflektarové anteny.

- plošné antény

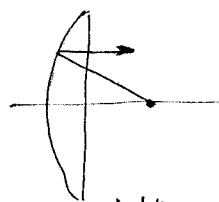
- trichetrické antény (trichetrické plochy, kružnice), anténa je rotačně ušitá vlnovodu; musí se rotačovat prudce  $\Rightarrow$  pro přijatelnou velikost bude mít malý zisk a široký hlavní lalok  $\Rightarrow$  využití jde primárně zářicí

- anténní dýky - vyrobeny z VF dielektrika, je to sekundární zářicí, musí být osazen primárním zářičem - osazovacem; paprsky musejí být rovnoběžné a mít stejnou fázi u uší
- zpomalující (přibl. třílet)
- rychlující (soustava planetárních vlnovodů  $v > c$ , velmi lehké, opticky nemožné),  $v \approx 0,5$



- reflektarové antény

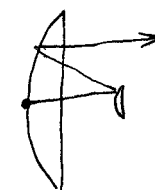
- parabolický reflektor je sekundární zářicí (primární: trichetrický, dipol, Štoubovicova anténa, ...)
- provedení:



"klasické"  $v \approx 0,6$



offsetové  $v \approx 0,7$



Cassegrainova anténa

- zisk přes 40dB, extrémně směrové

- činitel využití uší  $v < 1$  (základní apertury, konečná vzdálost, nepravosah)

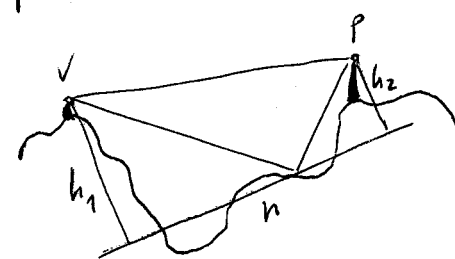
## (10) Vlastnosti a využití povrchové, prostorové a ionosférické rádiové vlny.

### • povrchová vlna

- střem vlnou atmosférou, nad 1GHz vysoký útvar (hydrometeority, resonance molekul  $\Rightarrow$  atmosférické okna)
- atmosférická refrakce  $\Rightarrow$  zavedení efekt. zemského poloměru
- přímá rádiová viditelnost, rádiový horizont

### • prostorová vlna

- pro  $\lambda > 0,1\text{ m}$  se vlna odrazí od země, přímá a odražená vlny interferují a tvorí prostorovou vlnu
- při  $r \gg h_1, h_2$  platí, že intenzita pole je lineárně vyšší antén  $\Rightarrow$  co nejvyšší
- pro výpočty nutné správné určení  $n(s)$ , antén nad rovinou odrazu, statistický přístup, digitální mapy + PC
- pro 30GHz až 6GHz - TV, VKV, GSM, ...



### • povrchová vlna

- při malých výškách antén, difracce vln na Zemi ještě díl. částice vodivém křesle; pro malé útvar vlny koničet a vysoká viditelnost
- výpočet složitý  $\Rightarrow$  spadové křivky ( $E_1 = f(r, f)$  při  $\epsilon_r, \mu_r$ )
- využití na koničkách do [MHz] - DV, SV, námořní spoje a navigace

### • ionosférická vlna

- ionosfera - oblast atmosféry ionizovaná UV zářením, od 40km
- D: 50km, E: 110km, F<sub>1</sub>: 200km, F<sub>2</sub>: 300km - lokální maxima koncentrace elektronů
- nejvyšší koničet, když se vlna ještě odrazí  $f_{max} = f(f_{krit}, \psi)$ , kde  $f_{krit} = f(N) \dots$  kritický koničet (při kolmém dopadu),  $f_{max} > f_{krit}$
- zdalekova vysoká vrstva h<sub>2d</sub>
- max. pracovní koničet MUF (F<sub>2</sub>), min. LUF (E), optimalní koničet FOT (0,85MUF)
- unik (natohodiny kolmické) intenzity el. pole při přijmu, předimou lokální zeměpisnou v ionosféře  $\Rightarrow$  více vln s různou fazí, sotvaží se)